

تجزیه و تحلیل آماری

توفانهای تندری و گرد و خاک وزیده شده

در طی دوره آماری ۱۴۹۰-۱۴۹۱

در استان همدان

قاسم کیخسروی

کارشناس ارشد اقلیم‌شناسی دانشگاه شهید بهشتی

دکتر حسن لشکری

دانشیار دانشکده علوم زمین دانشگاه شهید بهشتی

کشور را در برگرفته است. این استان از سمت شمال با استان زنجان، از شمال شرقی به استان قزوین، از شرق با استان مرکزی، از جنوب به استان لرستان و از غرب با استانهای کرمانشاه و کردستان محدود می‌شود.

از لحاظ موقعیت جغرافیایی بین ۳۴ درجه تا ۳۵ درجه و ۴۴ دقیقه عرض شمالی و بین ۴۷ درجه و ۴۸ دقیقه تا ۴۹ درجه و ۲۸ دقیقه طول شرقی واقع شده است (اطلس راهنمای استان‌های ایران، ۱۳۸۴).

جدول ۱: مکانیزم انتشار ذرات خاک به هنگام توفان (Yaping Shao, ۲۰۰۵)

اندازه ذره‌ها به میکرون	مکانیزم انتشار
$d \leq 2$	حرکت آثر دینامیکی
$2 \leq d \leq 11$	حرکت آثر دینامیکی، جهش ناگهانی
$11 < d \leq 22$	حرکت آثر دینامیکی، جهش ناگهانی، از هم پاشیدگی توده‌های متراکم
$22 < d \leq 52$	جهش ناگهانی، از هم پاشیدگی توده‌های متراکم
$52 < d \leq 90$	از هم پاشیدگی توده‌های متراکم
$90 < d \leq 125$	از هم پاشیدگی توده‌های متراکم

در میان پدیده‌های آب و هوایی پدیده‌هایی هم رفتی با توجه به شرایط دینامیکی و ترمودینامیکی حاکم بر آنها و اثرات تخریبی که می‌توانند داشته باشند از گذشته‌های دور موردن توجه بوده‌اند. (قدنهاری، ۱۳۸۵) افزایش نسبتاً شدید سرعت باد که با تغییر جهت آن همراه است اسکوال نامیده می‌شود، سرعت باد هنگام وقوع اسکوال از سرعت باد گردایان به مراتب بیشتر بوده و به ۲۰ تا ۴۰ متر بر ثانیه و بیشتر هم می‌رسد. مدت ادامه این پدیده چند دقیقه است البته گاهی ممکن است چندین اسکوال پس از دیگری در یک محل روی دهد. مکانیزم انتشار ذرات خاک به هنگام وقوع توفان‌ها و بادهای شدید بصورت جدول (۱) می‌باشد. به طور کلی توفان‌ها به دو نوع توفان گرد و خاک (شن) و توفان تندری تقسیم می‌شود.

چکیده

بادهای شدید تحت عنوان توفان نامگذاری شده‌اند که به شکل های متفاوتی و با سرعت زیاد برای مدت کوتاهی می‌وزند و معمولاً باهواهی ناپایدار همراه هستند. اگر هوای ناپایدار رطوبت داشته باشد توفان رعدوبرق (تندری گرد و خاک) باشد توفان گرد و خاک ایجاد می‌شود (علیجانی، ۱۳۷۹). عدمه توفان‌های تندری در تمام استگاههای استان همدان در فصل بهار خوش می‌دهد. در این فصل از سال بدليل افزایش انرژی تابشی خورشید که با رطوبت قابل ملاحظه جوی حاصل از تبخیر و پوشش گیاهی، زمین مرتبط و سیستم‌های ترمودینامیکی انتقالی که از غرب و جنوب غرب کشور همراه است، بیشترین تعداد توفان‌های تندری اتفاق افتاده است. فصل پاییز از لحاظ تعداد توفان‌های تندری در رتبه دوم قرار دارد. در این فصل نیز به دلیل بالابودن انرژی تابشی و ورود سیستم‌های ناپایدار به منشاء رطوبتی مناسب توفان‌های تندری قابل توجه می‌باشد. کمترین تعداد توفان‌های تندری به فصل زمستان تعلق دارد. معدل پیشینه توفان‌های گرد و خاک اعمد تاریخی خشک و بدون پوشش گیاهی اتفاق می‌افتد و تعداد این توفان‌ها در مناطق کوهستانی همدان کمتر است. بیشترین فصل وقوع توفان‌های گرد و خاک در استگاههای اکباتان، همدان نوژه و ملا بر در فصل بهار و تابستان و در استگاههای نهادون فصل تابستان می‌باشد. بررسی روند تغییرات ساعتی وقوع توفان‌ها نشان می‌دهد که بیشینه وقوع این توفان‌ها ز ساعت ۹ صبح به بعد است و در ساعت ۱۸ (بعد از ظهر) ازشدت و تعداد آنها کاسته می‌شود، و فراوانی این توفان‌ها در روزهای هنگام در کلیه استگاههای بیشتر از شب هنگام می‌باشد. توجه به بررسی های انجام شده بیشترین فعالیت توفان‌های گرد و خاک در فصل بهار و تابستان است. چون در این دوره از سال بدليل وجود انرژی تابشی بالا و شرایط توپوگرافی مناسب زمینه برای وقوع ناپایداری های محلی فراهم است، ولی به دلیل فقدان رطوبت کافی انرژی سامانه ها بصورت توفان‌های گرد و غبار تخلیه می‌شود.

واژه‌های کلیدی: توفان‌های تندری، توفان‌های گرد و خاک، همدان.

مقدمه

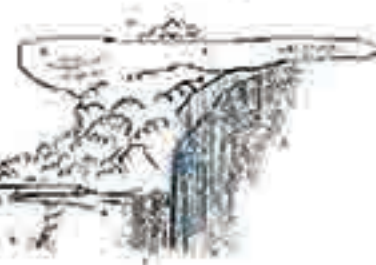
استان همدان با ۱۹۵۴۷ کیلومتر مربع وسعت، ۱/۲ درصد از مساحت

توقان گرد و خاک (آن)

الثقال مقدار (بادی گرده و خاک) (آن، ذرات خشک خاک) را که اغلب سب کاهش شدید دیده و مسیله باد من شود توقان گرده و خاک می تندد فاصله افقی منطقه توقان گرد و خاک از ۱۰۰ کیلومتر تا هزاران کیلومتر و پیش رو فاصله عمودی آن از چندین هتل تا چندین کیلومتر می باشد. کاهن غار هوادر توقان های گرد و خاک نا ارتفاع ۷-۶ کیلومتر بالا می رود. ارتفاع گرده و خاک بلند شده به ببروی باد و در حمۀ توسعه لسلاطمهای چهارمی یعنی به پایداری های تردد های هوا در لایه مجاور زمین و سطوح بال استگن دارد (مرجان، ۱۳۷۷). اکثر بسته جزئی مریوط به توقان های گرد و خاک بروی ارتباطات را بیوی تأثیر می کند. لایه هوای گرد و خاکی اغلب در ساعت روز بشدت گرم شده و پتانسیل رطوبت نیس آن ب مقدار زیادی کاهش می باشد. توقان های گرد و خاک به هژوکلی به دو نوع درون تردد های هوابی و جبهه ای تقسیم می گردند. توقان گرد و خاک درون تردد های هوابی در منطقه بادهای قرقی و در جنوب و جنوب غربی مرکز گرد و خاک جبهه ای مرکز کم فشار در حال تقویت رخ می دهد. توقان های گرد و خاک جبهه ای همدتا در منطقه تقویت باد در جلو جبهه سرمه اتفاق می افتد. پیش بینی حرکت توقان گرد و خاک جبهه ای همزمان با پیش بین حرکت جبهه مریوطه و پیش بینی حرکت توقان گرد و خاک درون تردد هوا مطابق با پیش بین حرکت منطقه الجام می گیرد. پیش بین تضعیف و پانقریت توقان گرد و خاک بر اساس تغیرات کل میدان فشار و میدان باد انجام می گیرد.

توقان های تندری

پرسامن توافق سازمان جهانی هواشناسی هرگاه در استگاهی صدای تند شنیده شد توغان تندری گزارش می شود. این صدای علت ارتعاش پائی از انساط سریع هوا در سر بر یک آذخش است و هفت غریب آن این است که صدا از مکانهای مختلف در طول یک آذخش که به دو کیلومتر از رسیده شده و به گوش می رسد. توغان تندری توغان از نکرک و ساران است که توأم با صدای رعد و دوختش برق در آسمان می باشد. این توغان پیش در نواحی استوایی و مداری که هوای گرم و مرطوب دارند دیده می شود. در این توغان ها اینها از نوع کومولوبوس می باشد. و همچنین این توغان ها با عبور جبهه سرمه همراه هستند. توغان های تندری نیازمند یه ۱- رطوبت ۲- نایابداری هوا ۳- مکانیسم ضعوه می باشند. نگاره (۱) اجراء تشکیل دهنده توغان های تندری را نشان می دهد.



نگاره ۱، ساختار
توقان های تندری
(جهانی ۱۳۷۷)

** سلدان (بخشن بالای ابر کمولوبوس که پهن و گسترده شده است) (۱۴) ۵- خط کناری شده که با جرخشی پایدار به طرف بالا روبروست (۱۵) ۵- محور نگری (۱۶) ۴- لوح ابر کمولوس (۱۷) ۵- داس ابر (۱۸) ۴- محور ساران (۱۹) ۴- ابر گم عمق (۲۰) ۱- خطی از بارش از قبل آب و ذرات بخ که از ابر فرود می آید، اما قبل از رسیدن به سطح زمین بخار می شود. (۲۱) ۴- دسواره ابر (۲۲)

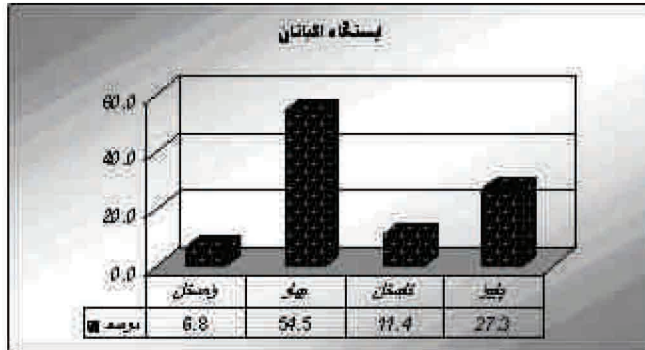
مطالعات متعددی در زمینه توقان ها انجام شده است. از جمله علی حامد علی (۱۹۹۵) به مطالعه بروزی میتوپیک و قرع خاک در نواحی شبه جزیره عربستان پرداخت. سه ردیف (۱۹۶) (۱۹۷) بیان داشت که یکی از پایداری های هواشناسی هنگام و قرع توغان های گرد و خاک، پدیده وابکوف (۱۹) می باشد، که باعث افزایش دمای هوا می شود. وی معتقد بود که ذرات گرد و خاک و ماسه در گرم گردن خاک و جل مؤثر هستند.

شالوکین (۱۹۷) در سال ۱۹۶۳ در تحقیقی بیان سرمه که هنگام و قرع توغان های گرد و خاک که از پایداری های ابر گرد و خاک نام دارد.

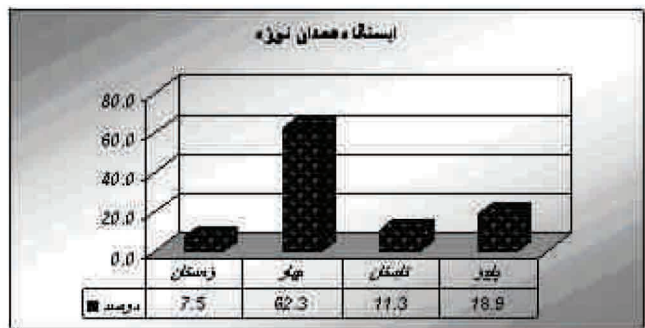
کارلسون (۱۹۸) در سال ۱۹۷۹ با استفاده از تصاویر ماهواره ای شنان داد که طار صحراي صحراء که بر روی اقلام اطلس منتقل می شود و مقدار خاک از در روی اقلام سطحی به وسعت $2 \times 10^5 \text{ km}^2$ را برشالد و شامل ۱۰ مکان بوده و حرم ذرا تی که فقط آنها بیشتر از $4 \times 10^6 \text{ km}^2$ است، در دو نیاز فشاری $78 \times 78 \times 90 \times 90 \text{ هکتوپاسکال}$ به ترتیب $1000 \mu\text{g}/\text{m}^3$ و $35 \mu\text{g}/\text{m}^3$ تخمین زده شد.

شهرت گری (۱۹۷) و همسکاران در سال ۲۰۰۲ به بررسی و تحلیل توغان های گرد و خاک و زنده شده از سال ۱۹۴۹ تا ۱۹۷۷ در مغولستان پرداختند در این اینامی از تریسم نشانه توغان های گرد و خاک شودند و از این مطالعه نتیجه گرفتند که تعداد توغان های گرد و خاک کمتر از ۵ روز در کوهستانهای آذیان، خشک، خانگانی (۱۹۸) اتفاق می افتد و در صحراي گم و نواحی تیمه بیابانی تعداد توغان ها در سال بین ۲۷-۳۷ مورد در سال اتفاق می افتد. و در نهایت نتیجه گرفتند که در حد توغان های گرد و خاک دوبار در فصل بهار که $5/6 \times 6/5$ در هند آن در هنگام روز و $5/4 \times 4/5$ در هند آن در شب هنگام اتفاق می افتد. ۷ در هند توغان های گرد و خاک در زمانهای که خاک و هوا خشک است اتفاق می افتد و در زمان و قرع توغان های گرد و خاک رطوبت نیس بین $20 \times 20 \text{ درصد}$ در مغولستان می رسد. حلیفت کاشانی (۱۳۷) با بررسی وضعیت اینگاههای ۳۸ گاهه در ایران به توزیع توغان هادر ماههای مختلف سال برای ایران دست یافت. در نتیجه این محاسبه، مثاهمه نموده که در فصل گرم انتقالی از مارس تا آوریل با ماکریمی در ماههای و انتقالی سرمه از اکتبر تا دسامبر با ماکریمی در اکتبر قابل تشخیص است. در نهایت نتیجه گرفت که $5/4 \times 7$ در حد توغان های ایران در فصل انتقالی گرم و 21 در حد توغان ها در فصل انتقالی سرمه اتفاق می افتد.

ساعت و قوع آنها دست یافت. جدول (۲) توزیع فصلی توفان‌های تندری را در ۲۴ ساعت شبانه روز و نمودار (۲) توزیع فصلی توفان‌های تندری را در منطقه مورد مطالعه، به درصد نشان می‌دهد.



نمودار ۲: توزیع فصلی توفان‌های تندری در ایستگاه اکباتان



نمودار ۳: توزیع فصلی توفان‌های تندری در ایستگاه همدان نوژه

با بررسی آماری و قوع توفان‌های تندری اطلاعات ۴ ایستگاه یاد شده براساس جدول (۲) مشاهده می‌شود که فراوانی و قوع توفان‌های تندری در ساعت ۱۵ بعدازظهر می‌باشد. با بررسی و تحلیل جدول (۲) و نمودارها نتایج زیر به دست می‌آید:

الف) ایستگاه اکباتان در فصل بهار با مقدار ۵۴/۵ درصد بیشترین تعداد روزهای توفان را دارا می‌باشد که از این مقدار ۱۲/۴۶ درصد آن در شب و ۸۷/۵ درصد آن در روز اتفاق می‌افتد. و کمترین تعداد روزهای قوع توفان تندری در فصل زمستان با مقدار ۶/۸ درصد می‌باشد که کلیه توفان‌های آن در روز هنگام اتفاق می‌افتد.

ب) در ایستگاه همدان نوژه بیشترین روزهای قوع توفان در فصل بهار با مقدار ۶۶/۲ درصد می‌باشد. بطور کلی ۷۳/۶ درصد توفان‌های همدان نوژه در فصل گرم و ۲۶/۴ درصد توفان‌های تندری در فصل‌های سرد اتفاق می‌افتد، و تعداد و قوع این توفانها در ساعات روز بیشتر از شب است.

پ) در ایستگاه ملایر بیشینه فصلی و قوع توفان مربوط به بهار با مقدار ۵۸/۳ درصد که ۳۳/۱ درصد آن در شب و ۶۶/۹ درصد آن در روز اتفاق می‌افتد و کمترین و قوع توفان‌های تندری مربوط به فصل تابستان با مقدار ۱۱/۱ درصد می‌باشد.

مرجانی (۱۳۷۲) با بررسی وضعیت سینوپتیکی و توپوگرافی خراسان عوامل مؤثر بر وقوع توفان‌های گرد و حاک را در مناطق مورد مطالعه را به صورت زیر دسته‌بندی نموده است:

۱- موقعیت منطقه مورد مطالعه از نظر توپوگرافی و شرایط اقلیمی آن منطقه به خصوص از نظر کوهستانی بودن و یا هم‌جوار بودن با دریاچه یا هم‌جوار بودن با صحراهای استپی و خشک.

۲- وجود مرکز کم فشار گرمایی در قسمت‌های مرکزی و جنوبی ایران و شمال عربستان و پاکستان و هندوستان در طی دوره توفان.

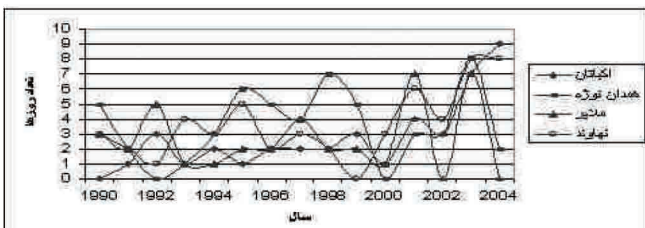
۳- وجود و حرکت زبانه پرفشار در قسمت‌های مرکزی و جنوبی سیری به سمت شمال خراسان در فصل انتقالی بهار و وجود زبانه پرفشار جنب حاره‌ای که در فصل تابستان به سمت جنوب خراسان کشیده شده است.

۴- افزایش فشار در منطقه شمال تا جنوب خراسان (شرق کشور) در روزهای وقوع توفان به واسطه نفوذ زبانه پرفشار جنب حاره‌ای (در فصل تابستان)

۵- ثابت بودن تقریبی فشار در ساعت یکسان در روزهای وقوع پدیده توفان در منطقه مطالعه (در فصل تابستان).

توفان‌های تندری

داده‌های مورد استفاده در این قسمت براساس گزارش‌های وضعیت هوای حاضر، که به طور ساعتی گزارش می‌شود، استفاده شد. برای این منظور ۴ ایستگاه استان همدان که گزارش ۲۴ ساعته آن در دسترس بود در نظر گرفته شد. سپس کدایی که برای توفان‌های تندری (۹۵, ۹۶, ۹۷, ۹۹) مشخص شده بود، محاسبه گردید (علیجانی، ۱۳۸۱). نمودار (۱) تعداد روزهای وقوع توفان‌های تندری را از سال ۱۹۹۰ تا ۲۰۰۴ نشان می‌دهد. براساس این نمودار در ایستگاه همدان نوژه در سال ۲۰۰۲ با بیشترین روزهای قوع توفان‌های تندری با تعداد ۸ روز می‌باشد. در ایستگاه نهادوند سالهای ۲۰۰۳ و ۲۰۰۴ دارای بیشترین روز و قوع توفان‌های تندری با مقدار ۸ روز می‌باشد. میانگین و قوع توفان‌های تندری در طی دوره آماری مشترک در ایستگاه اکباتان و ملایر ۳ روز و در ایستگاه همدان نوژه و نهادوند ۴ روز می‌باشد.



نمودار ۱: تعداد روزهای وقوع توفان‌های تندری در استان همدان در دوره آماری (۱۹۹۰-۲۰۰۴)، سازمان هواشناسی

تغییرات فصلی و روزانه توفان‌های تندری

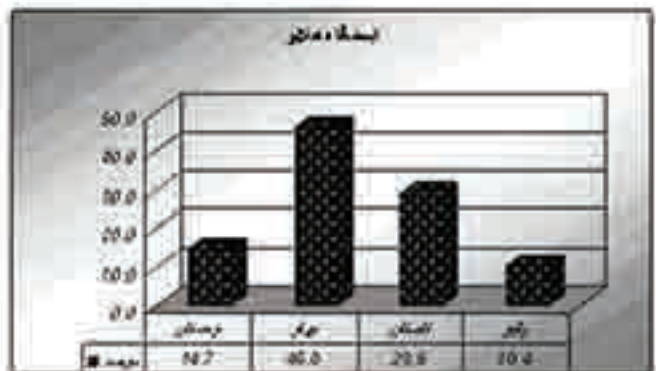
از بررسی نقطه به نقطه هیستوگرام‌های تهیه شده از ایستگاه‌های ۴ گانه می‌توان به توزیع توفان‌های تندری در فصل‌های مختلف سال همراه با

با بررسی و تحلیل جدول (۳) و نمودارها نتایج زیر به دست می آیند:
 (الف) استگاه اکباتان در فصل بهار با مقدار ۵۸۳ درصد شترین تعداد روزهای توفان را دارا می باشد که از این مقدار ۹/۶ درصد آن در روز اتفاق من افتاد و کمترین تعداد روزهای وقوع توفان گرد و خاک در فصل زمستان با مقدار ۱۱/۷ درصد می باشد که از این مقدار حدود ۲۷/۲ درصد آن در شب با ۷۶/۶ درصد آن در روز اتفاق می افتاد.

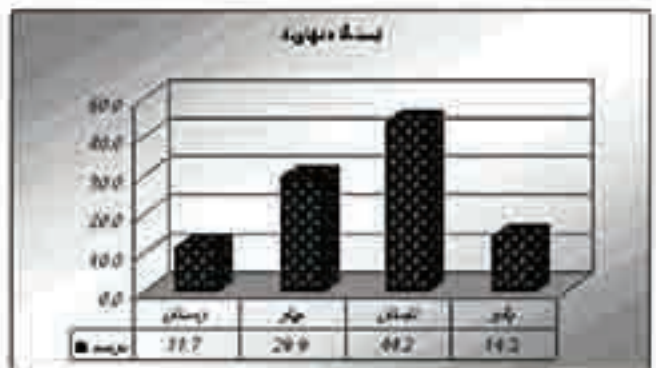
(ب) در استگاه همدان نوژه بیشترین روزهای وقوع توفان به ترتیب در فصل بهار و تابستان با مقدار ۴۲/۷ و ۲۹/۸ درصد می باشد بطور کلی ۷۲/۵ درصد توفانهای همدان نوژه در فصل کم و ۲۷/۵ درصد توفانهای گرد و خاک در فصل های سرمهی افتاد و تعداد وقوع این توفانها در ساعت روز پیش از شب است.

(ج) در استگاه ملاور بیشترین فصلی وقوع توفان مربوط به بهار با مقدار ۲۶ درصد که ۱۸/۷ درصد آن در شب و ۲۸/۹ درصد آن در روز اتفاق می افتاد و کمترین وقوع توفانهای گرد و خاک مربوط به فصل پاییز با مقدار ۱۰/۴ درصد می باشد.

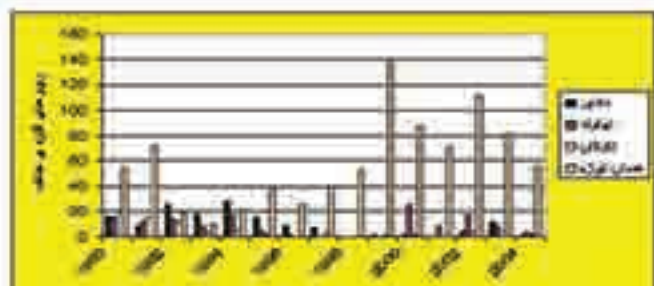
(د) در استگاههای اهواز و قم و قزوین و قم و قزوین و قم و قزوین در فصل تابستان با ۴۹/۷ درصد و بهار با ۲۹/۹ درصد می باشد. که قراوانی وقوع توفانهای گرد و خاک در این دو فصل در اوقات شب به ترتیب با ۴۱/۱ و ۱۷/۳ درصد و ایام روز به ترتیب برآبر با ۷/۶ و ۸/۸ درصد می باشد.



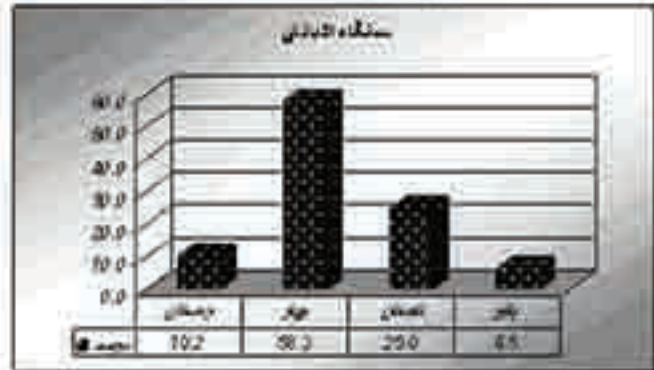
نمودار ۹: توزیع فصلی توفانهای گرد و خاک در استگاه ملاور



نمودار ۱۰: توزیع فصلی توفانهای گرد و خاک در استگاه اهواز



نمودار ۱۱: تعداد روزهای وقوع توفانهای گرد و خاک در استان همدان دوره آماری (۱۹۹۰-۲۰۰۴)

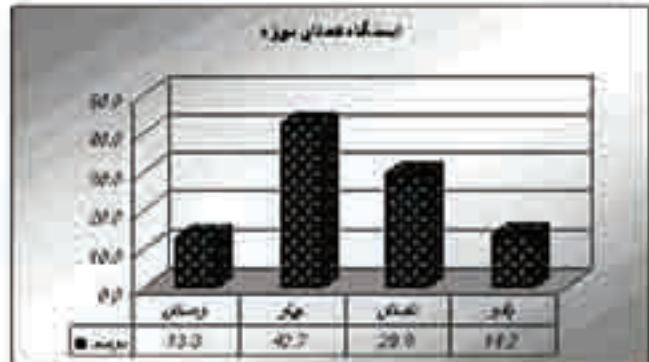


نمودار ۱۲: توزیع فصلی توفانهای گرد و خاک در استگاه اکباتان

نمایه فصلی و روزانه گرد و خاک

از بررسی نقطه به نقطه هیستوگرامهای تهیه شده از استگاههای ۴ کانه می توان به توزیع توفانهای گرد و خاک در فصل های مختلف سال همراه با ساعت و نوع آنها دست یافت. جدول (۳) توزیع فصلی توفانهای گرد و خاک را در ۲۲ ساعت شبانه روز و نمودارهای (۷) تا (۱۱) توزیع فصل

توفانهای گرد و خاک را در منطقه موزد مطالعه، به درصد نشان می دهد.
 با بررسی آماری وقوع توفانهای گرد و خاک اطلاعات ۴ استگاهها پس از مشاهده می شود که قراوانی وقوع توفانهای گرد و خاک در ساعت ۱۲ ظهر به بعد می باشد که همانگونه متوجه می شوند با زمان و ساز و کار آغاز و گسترش سامانه توفانی همزمان با افزایش گرمایش سطحی را دارا می باشد.



نمودار ۱۳: توزیع فصلی توفانهای گرد و خاک در استگاه همدان نوژه

- ۶- علیجانی، بهلوو، ۱۳۷۹، آب و هوای ایران، تهران، انتشارات دانشگاه پیام نور
 ۷- قندهاری، شهرزاد (۱۳۸۵)، بررسی امکان شبیه سازی بارش های رگباری شدید
 حاصل از اسلولهای همرفتی با استفاده از مدل MM5 و مقایسه نتایج به صورت موردنی،
 پایان نامه کارشناسی ارشد، دانشگاه آزاد، واحد علوم تحقیقات تهران
 ۸- مرجانی، سید صدر الدین (۱۳۷۲)، بررسی سینوپتیکی بادهای شدید بیش از ۱۵
 متر بر ثانیه (طوفان) در خراسان، پایان نامه کارشناسی ارشد، دانشگاه تهران، دانشکده
 ژئوفیزیک

۹- Ali Hamed Ali, Wind Regime of the Persian Gulf, 1990.

10- Carlson, L., monthly Weather, review Volume, no, 1992.

11- Seredkin, E.N., 1960. Dust Storms in Kazakhstan. Scientific issue Hydro-Meteorological Scientific Research Institute of on Kazakhstan. No. 15, V5pp. Nauka, Leningrad. pp. 17.

12- Natsagdorj, L.D., Jugder, Y., Schung. Analysis of dust Storms observed Mongolia during 1937-1999, 12 July 2002, in

13- Nalivkin, D.V., 1963. Typhon, Hurricane, Dust Storms and Sand drylands, United Nations. Spout.

14- Lin Zhaohui, Lei Hang, Sun Jianhua, 2005, Impact of face processes on the Simulation of dust Strom activities over northern 15-18, Zhuhai, Guangdong province, China, china, noreember

15- LCDR Bill Nisley, thunderstorm anatomy and dynamics, naval School, monterey, California, postgraduate

پی نوشت

۱- این پژوهش بخشی از پژوهه مطالعات مکان یابی محل دفع و دفن پسمند های ویژه در استان همدان می باشد.

2- Anvil

3- Flanking line

4- Hail shaft

5- Mammatus

6- Overshooting top

7- Rain Shaft

8- Shelf Cloud

9- Tornado

10- Virga

11- Wall Cloud

12- Ali hamed ali

13- Sered kina

14- Voikov

15- Nalivkin

16- Karlson

17- Natsagdari

18- Altai, Khentei, Khangai

وقوع این توفان ها از ساعت ۹ صبح به بعد است و در ساعت ۱۸ بعد از ظهر شدت و تعداد آنها کاسته می شود. فراوانی این توفان ها در روز هنگام در کلیه استگاهها بیشتر از شب هنگام می باشد. با توجه به بررسی های انجمام شده بیشترین فعالیت توفان های گرد و خاک در فصل بهار و تابستان است زیرا که در این فصل ها ناپایداری های محلی به حدا کثر می رسند در صورتی که در فصل زمستان به علت ساکن شدن سیستم های فشار زیاد و ثابت بودن آنها در منطقه، فراوانی توفان های خاک در استگاه های مورد مطالعه به حداقل خود می رسد. بی شک یکی از پیامدهای ناشی از توفان های گرد و خاک و بادهای شدید فرسایش می باشد. فرسایش خاک از جمله فرایند های است که منابع خاک و آب را به صورت مستقیم و غیر مستقیم شدیداً تهدید می کند. لذا حد آستانه سرعت اصطحکاکی برای ذرات وزیده شده بوسیله توفان ها و بادها از رابطه (۱) بدست می آید.

$$u_t^* = RH(t)Mu_{t0}^* = RH(t)M \sqrt{a_1(\varphi_p gd + \frac{a_2}{pd})} \quad (1)$$

(Yaping Shao, 2005)

$u_t^* = u_{t0}$ = حد آستانه سرعت اصطحکاکی برای ذرات وزیده شده بوسیله باد

$g =$ شتاب جاذبه زمین

$d =$ قطر ذرات

$p =$ جرم مخصوص هوا (چگالی)

$\varphi_p =$ نسبت جرم ذره و هوا

$a_1, a_2 =$ معبر تونل مانندی که هوا با فشارهای مختلف از آن عبور می کند

($a_1 = 0/0123, a_2 = 3 \times 10^{-4} \text{ kg s}^{-2}$)

$M, H, R =$ ناهمواری (زیری سطح زمین)، رطوبت خاک، بافت (تراکم) خاک

براساس رابطه (۱) ضوابط سودمند در فرسایش بادی عبارتند از:

۱- هنگامی که u_t^* بزرگتر از u_t برای اندازه ذره معین در یک ناحیه گرد و خاک بلند می شود.

۲- سرعت اصطحکاکی (u_t^*), تعیین نمودن توانایی (قدرت) باد در فرسایش که به سرعت باد و ناهمواری سطح زمین وابسته است.

۳- حد آستانه سرعت اصطحکاکی (u_t^*), تعیین نمودن توانایی سطح زمین در مقابل فرسایش که به بافت خاک، رطوبت خاک و پوشش گیاهی وابسته است.

منابع و مأخذ

۱- آل احمد، مهرداد (۱۳۷۶)، سینهار بررسی بادهای شدید سواحل جنوبی خزر،

دانشگاه تهران، مؤسسه ژئوفیزیک

۲- سازمان هواشناسی کشور، اداره کل خدمات ماشینی و کاربرد کامپیوتر (۱۳۸۵)

۳- حسینی، سید باقر (۱۳۷۹)، مطالعه سینوپتیکی طوفان های شدید در تهران، پایان

نامه کارشناسی ارشد، دانشگاه تربیت مدرس، دانشکده منابع طبیعی

۴- حقیقت کاشانی، خسرو، ۱۳۷۰، فرکانس توفان های تندری در ایران، پایان نامه

کارشناسی ارشد، دانشکده ژئوفیزیک دانشگاه تهران

۵- اطلاع راهنمای استانهای ایران، ۱۳۸۴، انتشارات سازمان جغرافیا بی و زارت دفاع

و پیشگیری